DOI: 10.11895/j.issn.0253-3820.170300

基于新型量子点荧光微球的氯霉素免疫层析试纸条的制备和应用

丁乔棋 李丽 范文韬 吕亚楠 胡建华 闫丽萍* 宋素泉* (南京农业大学动物医学院,南京 210095)

摘 要 以羧基化 CdTe/ZnSe 量子点荧光微球为标记物,通过 1-Z基-(3-二甲基氨基丙基)碳二亚胺/N-羟基琥珀酰亚胺(EDC/NHS)活化法将氯霉素(CAP)单克隆抗体与量子点荧光微球偶联制备荧光探针。氯霉素全抗原(CAP-HS-BSA)及羊抗鼠二抗分别喷涂硝酸纤维素膜,形成检测线(T线)和质控线(C线),组装成新型氯霉素量子点荧光微球免疫层析试纸条,建立了快速、定量检测牛奶中 CAP 的方法。本研究开发的量子点荧光微球试纸条可在 15 min 内完成牛奶样品中 CAP 的定量检测,线性范围为 $0.1 \sim 100.0$ $\mu g/L$,检出限为 0.1 $\mu g/L$ 。牛奶样品 CAP 的加标回收率为 $93.3\% \sim 97.9\%$,相对标准偏差在 $4.9\% \sim 6.9\%$ 之间。

关键词 氯霉素;量子点微球;免疫层析试纸条

1 引言

氯霉素(Chloramphenicol, CAP)是一种价格低廉、高效广谱的抗生素,曾经广泛应用于畜牧业生产中。然而,由于其分子结构中带有毒性硝基基团且半衰期较长,极易残留在畜禽体内产生毒副作用,残留的 CAP 还可以通过食物链危害消费者健康^[1,2]。目前,许多国家都禁止在畜牧生产中使用 CAP,如欧盟规定氯霉素在肉、海鲜、鸡蛋、牛奶、蜂蜜等食用动物内的最小执行限量(MRPL)为 0.3 μg/kg^[3]。我国农业部 235 号公告中明确规定禁止使用 CAP^[4]。然而,CAP 的滥用问题仍非常严重,CAP 残留超标时有发生,因此加强动物性食品中 CAP 的监测非常重要。

目前,检测 CAP 的常用方法包括微生物测试法、ELISA 法及液相色谱分析法等^[5]。微生物法操作简便但灵敏度不高^[6];ELISA 灵敏度较好,但常存在假阳性,且耗时较长^[7];色谱分析法具有良好的灵敏度、准确性与重复性,但样品前处理过程繁琐、费用高且对需要专门的操作人员^[8]。而免疫层析技术成本低、检测速度快、操作简单、对设备要求低且适合现场应用,已广泛用于食品安全的现场筛查^[9]。目前常用的免疫层析技术的标记物为胶体金^[10],通常通过肉眼观察进行定性分析,检测结果受主观影响大,不适于进行定量分析。相比之下,采用荧光标记的免疫试纸条显示出更高的灵敏度,适于样品的定量分析。如 Song 等^[11]采用镧系元素 Eu(III)-BHHCT 修饰的荧光纳米材料二氧化硅为探针,建立了猪尿中盐酸克伦特罗的免疫层析检测方法,检出限为 3.7 μg/L,灵敏度高于胶体金免疫层析试纸条。

量子点(Quantum dots, QDs)是目前常用的一种荧光标记物,是由 II~VI 族或 III~V 族元素组成的新型荧光纳米材料。与传统有机染料相比,QDs 具有一元激发多元发射、激发光谱宽、发射光谱窄、光稳定性好和抗漂白能力强等特点,因此采用量子点标记的免疫层析试纸条具有相对较高检测的灵敏度^[12~14],而将大量 QDs 包裹于聚合物材料制备得到的量子点微球(Quantum dot submicrobeads, QBs)则可表现出更高的荧光强度和更好的光学稳定性^[15,16]。目前,以 QBs 为探针的氯霉素免疫层析试纸条尚未见报道。本研究采用 CdTe/ZnSe QBs 标记的抗 CAP 单克隆抗体为指示物,开发出一种特异性检测CAP 的 QBs 荧光免疫层析试纸条,并应用于实际牛奶样品中 CAP 的检测,显示出良好的实用性。

2 实验部分

2.1 仪器与试剂

HSC-24A 氮吹仪(天津恒奥科技发展有限公司); LC-20AT 高效液相色谱仪(日本岛津公司); Gel

²⁰¹⁷⁻⁰⁵⁻⁰⁹ 投稿:2017-09-04 接受

本文系国家重点研发计划(Nos. 2016YFD0501200, 2016YFD0501009)、中央高校基本业务费(No. Y0201500195)、江苏省自然基金面上项目(No. BK20161452)、广东省科技计划重点项目(No. 2017B020202010)和江苏高校优势学科建设工程资助项目资助

^{*} E-mail; yanliping@ njau. edu. cn; suquan. song@ njau. edu. cn

Doc XR 凝胶成像系统(美国 Bio-rad 公司);硝酸纤维素膜(NC 膜)、玻璃纤维素膜、滤纸(美国 Millipore 公司);表面羧基化修饰的 CdTe/ZnSe 量子点微球(QBs,上海艾信生物科技公司),平均粒径为 174 nm,激发波长为 365 nm 时的最大发射波长为 610 nm;氯霉素标准品(北京百灵威科技公司);胎牛血清蛋白(BSA)、羊抗鼠二抗、2-(N-吗啡啉) 乙基磺酸(MES)、4-羟乙基哌嗪乙磺酸(HEPES)(北京索莱宝生物科技有限公司);琥珀酸酐(HS,上海源叶生物公司);吡啶(南京化学试剂股份有限公司);1-(3-二甲氨基丙基)-3-乙基碳二亚胺盐酸盐(碳二亚胺,EDC)、N-羟基硫代琥珀酰亚胺钠盐(Sulfo-NHS)(上海麦克林生化科技有限公司);CAP 单克隆抗体由本实验室免疫合成,效价为 1×10⁵。氯霉素 ELISA 检测试剂盒(上海生工生物工程公司)。

2.2 氯霉素全抗原的制备

采用 EDC 法制备氯霉素全抗原^[17],具体过程如下:称取 HS 930 mg 置于平底烧瓶,加入 8 mL 两酮,1.5 mL 吡啶,60℃水浴加热搅拌至澄清,记为 A 液;称取 2 g CAP,溶于 5 mL 丙酮中,记为 B 液;将 B 液逐滴加到 A 液中,60℃回流 2 h 后加丙酮并吹干。体系中加入 30 mL 乙酸乙酯和 10 mL 0.1 mol/L HCl,振荡除去除酸层,用蒸馏水洗两次。随后向乙酸乙酯层中加入 10% (w/w) NaHCO₃,搅拌使其溶解,用浓 HCl 调至 pH 3,得到黄色粘稠的半抗原氯霉素琥珀酸酯(CAP-HS)。CAP-HS 经高效液相色谱法(HPLC)鉴定后,冻干保存。称取 150 mg CAP-HS,溶于 2.5 mL N,N-二甲基甲酰胺(DMF)中,依次加入适量 MES 缓冲溶液、EDC 溶液和 Sulfo-NHS 溶液后,室温下搅拌反应 3 h,随后加入 20 mg/mL BSA,室温光搅拌反应 3 h,然后 4℃下搅拌过夜。最后用 0.05 mol/L 硼酸缓冲液透析纯化,得到偶联物 CAP-HS-BSA。HPLC 分析条件为:流动相为甲醇-乙腈-乙酸铵溶液(pH 6.8,0.05 mol/L)(0.2:19.8:80,V/V),流速为 0.5 mL/min,分析温度 30℃,SPD-20A 紫外检测器,检测波长 276 nm。

2.3 量子点微球标记氯霉素单克隆抗体

采用 EDC-NHS 法 [18] 偶联 QBs 和 CAP 抗体:将 10 mg QBs 加入到 4 mL MES (0.1 mol/L, pH 5.5) 缓冲液中入,混匀,20000 r/min 离心 15 min,弃上清液,加入 1 mL MES 缓冲液重悬。体系中分别加入 10 mg/mL的 EDC 和 sulfo-NHS 溶液,37℃振荡反应 1 h 后,20000 r/min 离心 15 min,沉淀加入 1 mL HEPES 缓冲液 (0.05 mol/L, pH 7.4) 重悬。将 CAP 抗体加入到上述溶液中,37℃反应 2 h,然后加入含有 10% BSA 的 PBS 溶液封闭 2 h,得到量子点荧光微球标记的 CAP 单抗(简称 QBs 探针),4℃储存,备用。

2.4 QBs 免疫标记快速检测试纸条的组装及结果判读

QBs 荧光试纸条由样品垫、结合垫、NC 膜、吸水纸及 PVC 底板 5 部分组成,如图 1A 所示。将适当浓度的氯霉素全抗原及羊抗鼠二抗喷涂在 NC 膜上,分别作为检测线(T线)和质控线(C线),结合垫上包被 QBs 探针。将 NC 膜、结合垫、样品垫及吸水纸依次粘贴在 PVC 底板上,相互重叠 0.2 mm。组装好后切成 4 mm 条状试纸条,置于锡箔袋中,加入干燥剂密封保存,备用。使用时,将待测样品滴加到样品垫上,样品在虹吸作用下缓慢向吸水纸方向迁移。当样品中没有 CAP 时,QBs 探针就会与包被在T线上的 CAP 全抗原结合而出现荧光条带,剩余的 QBs 探针继续向前移动,被 C线上的二抗捕获,C线也发出荧光;当样品液中含有 CAP 时,结合垫上 QBs 荧光探针会和 CAP 结合,因此在 T线处与 CAP 全抗原结合的 QBs 探针的量就会减少,T线处荧光强度变弱或消失,即T线的荧光强度和 CAP 的量成反比。无论样品中是否含有 CAP,C线都应出现荧光条带,否则试纸条结果判定为无效。反应后的试纸条可通过 Gel Doc XR 成像系统读取 C线和T线上的荧光强度值(C值和T值),用于定量检测。试纸条结果示意图如图 1B 所示。

2.5 QBs 荧光试纸条性能评价

在优化条件下,采用本试纸条对含有不同浓度 CAP 的牛奶样品进行检测,通过凝胶成像系统读取试纸条的 T 值和 C 值,每个浓度重复 3 次,并以 CAP 的浓度为横坐标,以 B/B_0 (不同 CAP 浓度测得的 T/C 值与 CAP=0 时测得的 T/C 值的比值)为纵坐标,绘制拟合曲线。

考察结构类似物氟苯尼考、甲砜霉素、青霉素和莱克多巴胺(1000 μg/L)在试纸条上的显色情况,以 PBS 作为空白对照,分析试剂条的特异性。制备的荧光试纸条封闭在含有干燥剂的铝箔袋中,37℃下保存,2 周后随机取出数根试纸条,测定梯度浓度的 CAP 标准溶液,分析试纸条的稳定性。

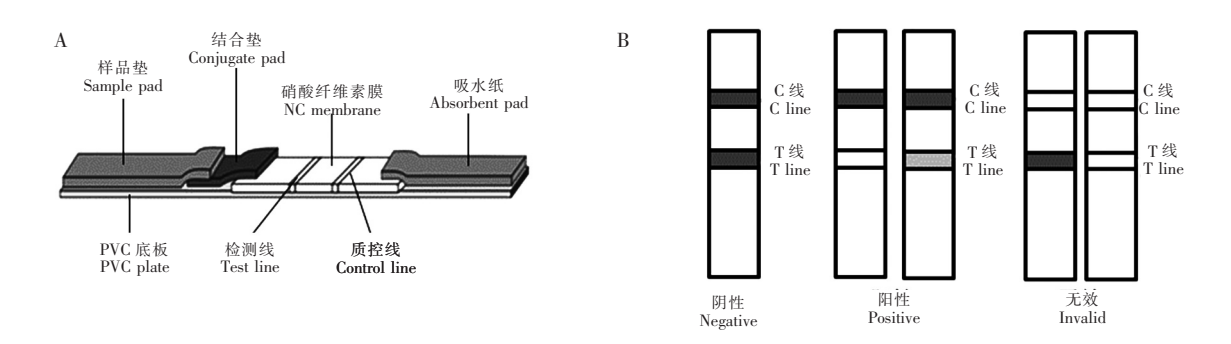


图 1 QBs 荧光试纸条检测氯霉素的原理图。(A)试纸条组装结构图;(B)试纸条结果示意图 Fig. 1 Schematic illustration of quantum dot submicrobeads (QBs)-based immunochromatographic test strip (ICST) for chloramphenicol (CAP) detection; (A) structure of QBs-based ICTS; (B) schematic diagram of CAP detection by QBs-based ICTS

2.6 实际牛奶样品分析

通过在阴性牛奶中的加标回收实验,评价 QBs 荧光试纸条的准确性以及精密度,加标浓度为 0.1 和 $10~\mu_g/L$ 。为了进一步评价开发的 QBs 荧光试纸条的实用性,研究分析了 30~份加标牛奶样品(10~份牛奶加标浓度为 0.1~ μ_g/L ,10~份牛奶加标浓度为 10~ μ_g/L ,10~份为阴性对照),并将实验结果与商品化 ELISA 试剂盒的检测结果进行对比。

3 结果与分析

3.1 半抗原 CAP-HS 和全抗原 CAP-HS-BSA 的鉴定

采用 HPLC 分析半抗原 CAP-HS 的合成效果。结果表明,CAP 色谱峰保留时间为 8.0 min(图 2A), CAP-HS 的保留时间为 9.5 min(图 2B)。BSA(500 μ g/mL)、CAP-HS-BSA(500 μ g/mL)及 CAP-HS (50 μ g/mL)在 220~340 nm 范围内的紫外光谱图如图 2C 所示,CAP-HS-BSA 和 BSA 在 280 nm 左右均有一个吸收峰,但是相同蛋白浓度的 CAP-HS-BSA 在 280 nm 的吸光值是 BSA 吸光值的数倍,这是由于BSA与 CAP-HS 偶联后吸光值叠加的缘故,因此可以初步判定 CAP-HS与 BSA 偶联成功。SDS-PAGE 凝胶电泳分析(图 2D)也显示,CAP-HS-BSA 的电泳条带滞后于蛋白标准品 BSA,说明全抗原 CAP-HS-BSA 合成成功。

3.2 QBs 荧光探针制备条件的优化

本研究通过将适量的 QBs 荧光探针溶液滴加在试纸条的结合垫上(试纸条的 NC 膜只包被有 C 线),根据 C 线的荧光情况选出制备 QBs 荧光探针的最佳条件。当 pH 7.5 时,C 线上 QBs 探针-二抗 偶联物的荧光强度最强,随着 pH 值升高,C 线荧光强度下降(见图 3A),原因可能是 pH 值过高导致蛋白变性,从而导致 QBs 与单抗偶联效率降低^[19]。在其它条件相同的情况下,当加入 EDC 和 Sulfo-NHS 偶联剂的量不足时,QBs 与 CAP 抗体偶联不完全,当偶联剂的加入量为 150 μL 时,QBs 探针-二抗偶联物的荧光强度最强(图 3B)。考察了 QBs 与抗体的质量比对试纸条的荧光效果的影响(图 3C)。结果表明,当 QBs 与抗体(1 mg/mL)的质量比为 7.5:1.0 时,获得的 QBs 探针与二抗作用荧光效果最好。由图 3D可见,QBs 与抗体偶联前后 QBs 的峰型保持对称,半峰宽不变,且均无拖尾现象,表明二者粒径分布均匀,分散性好,荧光性能良好。另外,QBs 和 CAP 单抗结合后表现出更高的荧光强度,其荧光值由原来的 264.128 a. u 升高至 284.546 a. u。

3.3 实验条件优化

3.3.1 NC 膜、QBs 探针浓度以及测试时间的选择 比较了两种 NC(Satorius CN140 NC 膜和 TEST G-140 NC 膜)组装的试纸条的检测效果(图 4A, 4B)。结果表明,加入 $0.1 \sim 1.0 \mu g/L$ CAP 标准品后 15 min,随 CAP 浓度的增加,前者测得 T/C 值呈明显的梯度下降趋势,且荧光强度更亮;而由后者组装的试纸条则变化不明显。因此,本研究采用 Satorius CN140 NC 膜组装 CAP 荧光试纸条。

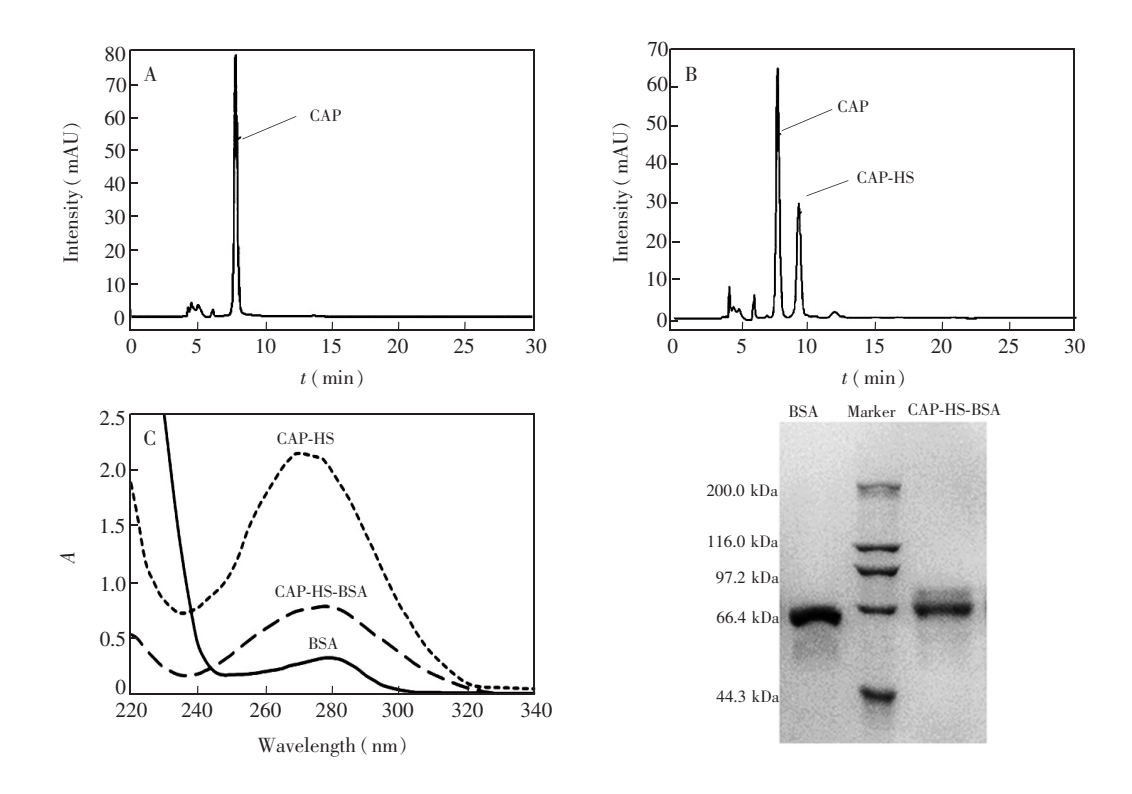


Fig. 2 Identification of CAP-HS and CAP-HS-BSA. (A) HPLC analysis of CAP; (B) HPLC analysis of CAP-HS; (C) UV spectra of CAP-HS-BSA, CAP-HS and BSA; (D) SDS-PAGE electrophoretogram of CAP-HS-BSA and BSA. HS, succinic anhydride; BSA, bovine serum albumin; SDS-PAGE, sodium dodecyl sulfate polyacrylamide gel electrophoresis

使用2 倍稀释的 QBs 探针组装的试纸条(喷涂量2 μ L/cm)检测含有 CAP 的样品时,获得的 T/C 值明显高于3 倍稀释的 QBs 探针,因此本研究最终选择2 倍稀释的 QBs 探针包被试纸条的结合垫(见图 4C)。

免疫层析试纸条的显色是抗原抗体免疫学动态反应过程,为了优化反应时间,本研究考察了试纸条检测 1 μ g/L CAP 浓度时 T/C 值随时间的变化,加入待测样品后,通过成像系统每隔 5 min 记录试纸条 T 线和 C 线荧光强度(图 4D,插图为不同免疫反应时间下的 S/N 值)。结果表明,在 30 min 内,空白对照组和阳性组的 T/C 值变化不明显,在 15 min 时,S/N 值(相同时间点下对照组和阳性组的 T/C 值的比值)达到最大,随着时间延长,S/N 值逐渐降低, NC 膜上的非特异性结合增强使背景颜色加深,故选择 15 min 为试纸条的最佳分析时间。

3.3.2 T线抗原及 C线二抗喷涂浓度的优化 由表 1 可知,固定 C线喷涂的二抗含量,试纸条 T线的 荧光强度随 T线上抗原的浓度增加而加强,T/C值也随着抗原浓度的加大而增加;当固定 T线上抗原 的量为 0.6 mg/mL 时,试纸条 C线的荧光强度随着二抗浓度的加大而增强。第 4、5 和 8、9 组中,虽然 T线和 C线的荧光强度随着抗原或二抗的浓度增加而增加,但抑制率偏低;第 6 组中,包被的二抗浓度为 0.2 mg/mL 时,检测到 C线值偏低;而第 7 组实验中,当 T线抗原的喷涂量浓度为 0.6 mg/mL、C线上二抗的喷涂浓度为 0.4 mg/mL 时,试纸条 T线和 C应的荧光强度值最佳,且 T/C值也较高,CAP 阳性实验中竞争抑制率为 42%,因此选用该组浓度喷涂试纸条的 T线和 C线。

3.4 QBs 试纸条的检测性能

采用CAP阴性的牛奶样品配制CAP系列标准溶液检测QBs试纸条的灵敏度及检测范围。由图5

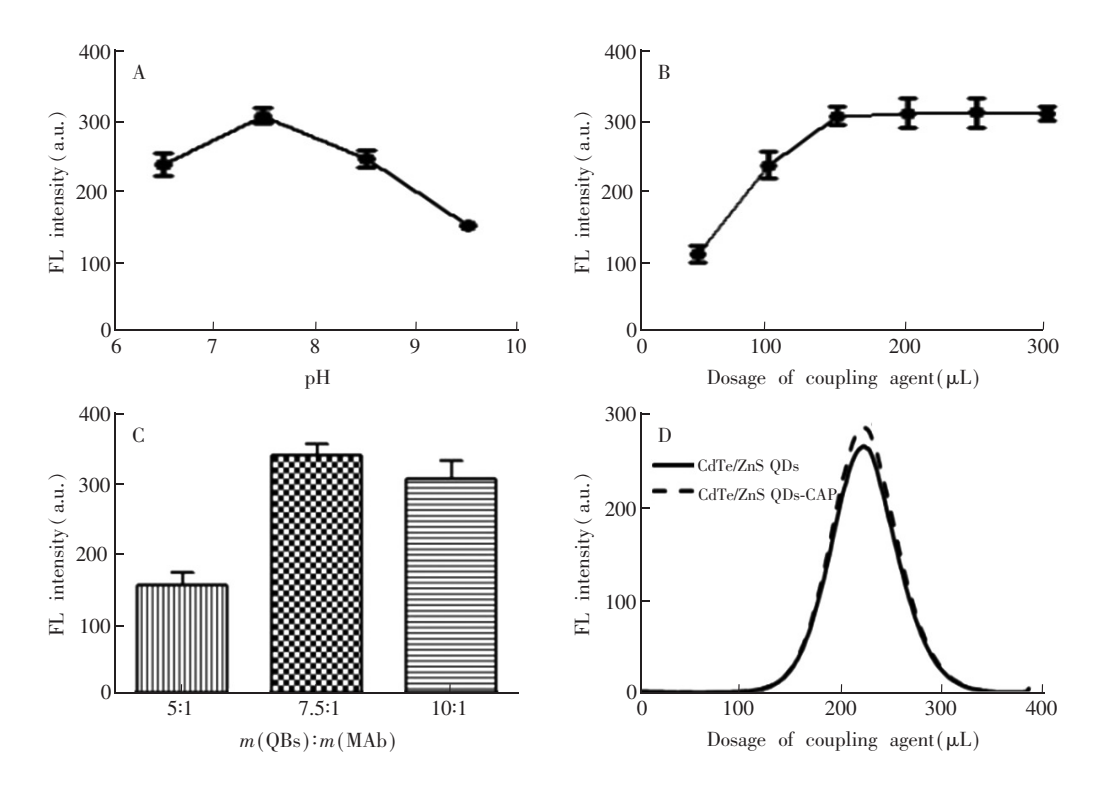


图 3 QBs 荧光探针制备条件的优化。(A)pH 的影响;(B)偶联剂 EDC-NHS 剂量的影响;(C)抗体量的影响;(D)QBs 偶联前后荧光光谱图。

Fig. 3 Optimization of synthesis conditions of QBs-probe. (A) Effect of pH; (B) Effect of dosage of coupling agent; (C) Effect of the dosage of CAP monoclonal antibodies (mAb); (D) Fluorescence spectra of CdTe/ZnSe QBs and CdTe/ZnSe QBs-mAb/CAP. EDC, 1-ethyl-3-(3-dimethylaminopropyl) carbodiimide; NHS, N-Hydroxysuccinimide

表 1 T线抗原及 C线二抗喷涂浓度的优化(n=3)

Table 1 Optimization of concentration of CAP-HS-BSA sprayed on T-line and secondary antibody on C-line (n=3)

unic i	optimization of concomitation of GIII The Best sprayed on T line and secondary anabody on G line (10 B)					
组别 Groups	抗原喷涂浓度 Concentration of CAP-HS-BSA (mg/mL)	二抗喷涂浓度 Concentration of GaMIgG (mg/mL)	T 线荧光强度 FL intensity of T-line	C 线荧光强度 FL intensity of C-line	T/C 值 T/C value	竞争抑制率 $1 \cdot (B/B_0)$ Inhibition rate $(1 \cdot B/B_0)$
1	0.2	1	437±14	27540±33	0.0159±0.12	0.46±0.02
2	0.4	1	485 ± 74	29312±42	0.0165 ± 0.06	0.44 ± 0.06
3	0.6	1	497 ± 32	24997 ± 10	0.0199 ± 0.15	0.46 ± 0.03
4	0.8	1	508±28	26210±72	0.0194 ± 0.09	0.34 ± 0.11
5	1	1	607 ± 22	21102±12	0.0288 ± 0.24	0.30 ± 0.08
6	0.6	0.2	412±11	2342±53	0.1761±0.18	0.38 ± 0.05
7	0.6	0.4	440±45	10182±49	0.0432 ± 0.32	0.42 ± 0.14
8	0.6	0.6	265±8	16442±36	0.0181 ± 0.14	0.14 ± 0.04
9	0.6	0.8	445 ± 28	20460 ± 27	0.0170±0.06	0.27 ± 0.07

注:CAP 浓度为 $0.1 \mu g/L$, B 和 B_0 分别为 CAP 存在和不存在时的 T/C 值。

Note: Concentration of CAP is 0.1~mg/mL. B and B_0 are T/C values in the presence and absence of CAP, respectively. GaMIgG, goat anti-mouse immunoglobulin

可知,随着牛奶中 CAP 含量增加,T 线的荧光强度则逐渐变浅直至完全消失,当 CAP 的浓度为 $0.1~\mu g/L$ 时,试纸条 T 线的荧光强度明显弱于阴性对照组的 T 线,因此以 $0.1~\mu g/L$ 为试纸条的检出限(图 5A)。 从图 5B 可知,检测 CAP 的浓度范围为 $0.1~100.0~\mu g/L$,QBs 荧光试纸条的拟合曲线为 lgy=-0.8103-0.6115lgx, $R^2=0.9915$ 。

3.5 荧光免疫试纸条的特异性和稳定性

分别选择氟苯尼考、甲砜霉素、莱克多巴胺、青霉素 4 种抗生素(浓度为 1000 μg/L)评价 QBs 荧光

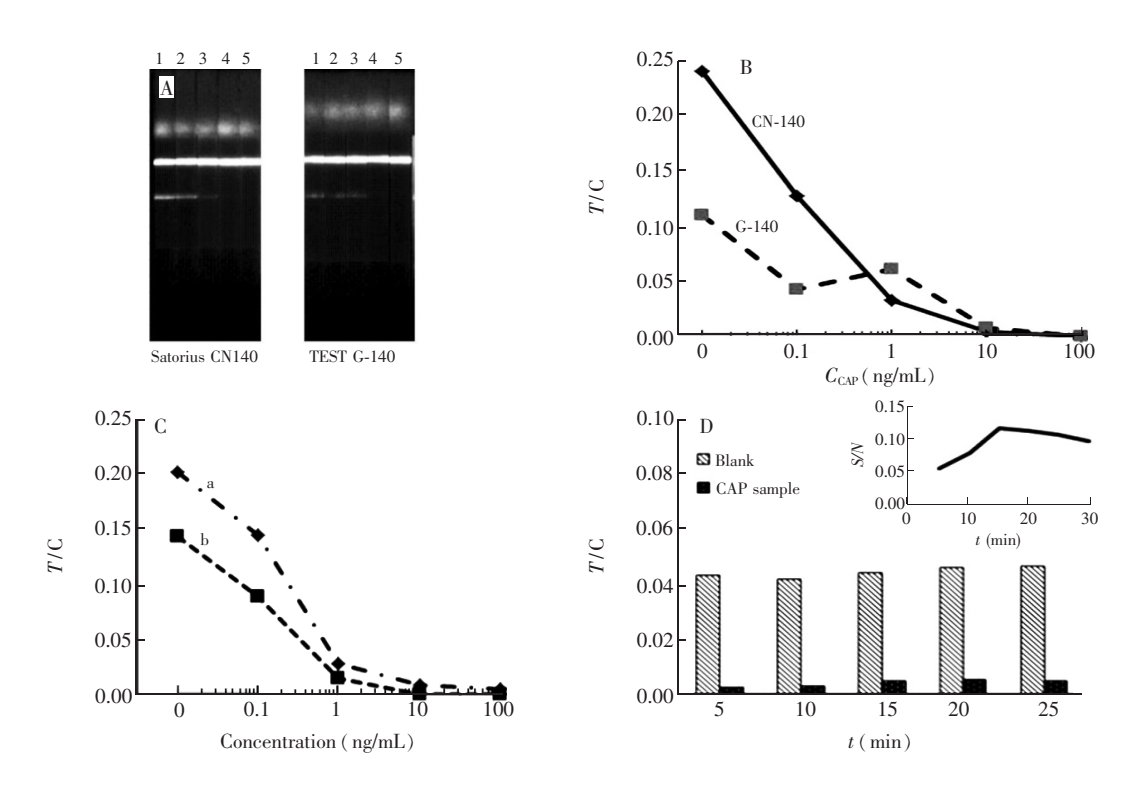


图 4 QBs 试纸条制备条件的优化。(A) 两种 NC 膜的显色效果;(B) 两种 NC 膜上 CAP 对应的 T/C 值;(C) QBs 优化图,曲线 a 和 b 分别为 QBs 探针 2 倍和 3 倍稀释后测试氯霉素溶液所对应的 T/C 值;(D) 试纸条的 T/C 值随反应时间的变化图,插图为不同反应时间下的 S/N 值, CAP 浓度为 1 μ g/L。

Fig. 4 Optimization of immunochromatographic strip test (ICST). (A) Chromogenic result of two kinds of nitrocellulose (NC) membranes. (B) Fluorescence intensity ratio of test line (T line) and C-line (C line) (T/C value) of ICST with two kinds of NC membranes. (C) Effect of concentration of QBs-probe on T/C value of ICST. (D) Effect of immunoreaction time on T/C value of ICST, Inset is the chang of signal to noise ration (S/N) value along with immunoreaction time. Concentration of CAP is 1 μ g/L

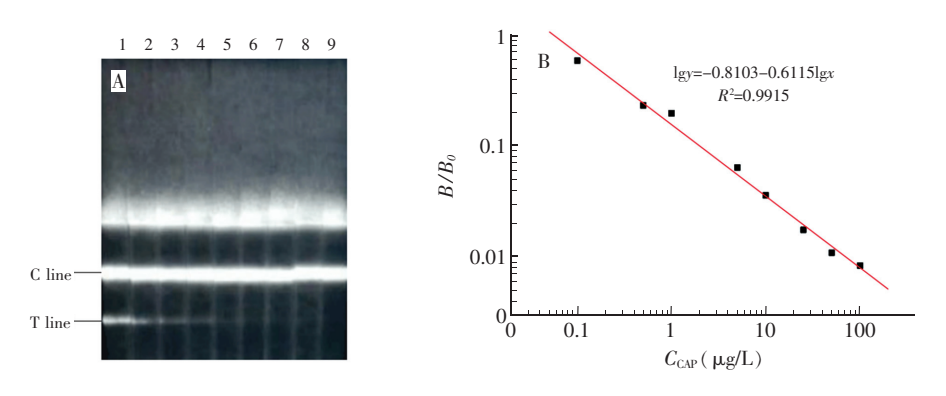


图 5 试纸条的性能评价。(A) 试纸条灵敏度实验,1~9 CAP 浓度分别为:0、0.1、0.5、1.0、5.0、10.0、25.0、50.0 和 100.0 μ g/L; (B) 试纸条的拟合曲线。

Fig. 5 Evaluation of property of ICST. (A) Sensibility of CAP ICST, the concentration of CAP from 1–9 is 0, 0.1, 0.5, 1.0, 5.0, 10.0, 25.0, 50.0 and 100.0 μ g/L, (B) Calibration curves of ICST

试纸条的特异性,以 PBS 作为空白对照。结果显示,当试纸条上滴加 4 种抗生素时,其 T 线和 C 线荧光条带与空白对照组基本相同,T/C 值检测结果也证明四种抗生素在试纸条上无交叉反应。通过 37℃加速稳定性实验考察试纸条的稳定性,结果表明,在 2 周的保存期内,虽然试纸条的 T 线和 C 线荧光强度值有所减弱,但试纸条的 T/C 值的相对标准偏差(RSD)为 2.3% ~7.0%,检测性能未发生明显变化。因此,本研究制备的 QBs 荧光试纸条具有良好的特异性和稳定性。

3.6 实际样品分析

阴性牛奶样品两个浓度水平 $(0.1\ 和\ 10.0\ \mu g/L)$ 的加标回收率分别为 97.9% 和 93.3%,RSD<7% (n=5)。因此,本研究制备的 QBs 荧光试纸条具有良好的特异性和稳定性,其准确性和精密度可以满足快速定量筛查的需求。

采用 CAP QBs 荧光试纸条检测 30 个牛奶样品的结果表明,20 份加标样品中,19 份样品的检测结果为阳性;10 份阴性样品的检测结果皆为阴性,而且本实验结果与商品化 ELISA 检测试剂盒的检测结果一致。与 ELISA 方法相比,QBs 荧光试纸条法操作更为简单,检测时间仅需15 min。与常规胶体金试纸条法(LOD: 0.2~2.0 µg/L)^[20,21]相比,CAP QBs 荧光试纸条具有更高的检测灵敏度和更强的特异性,可实现目的分子的定量分析,显示出良好的应用前景。

References

- 1 Fraunfelder F T, Bagby G C, Kelly D J. Am. J. Ophthalmol., 1982, 93(3): 420-422
- 2 Kucers A. J. Antimicrob. Chemother., 1980, 6(1): 1-4
- 3 Samanidou V, Kehagia M, Kabir A, Furton K G. Analy. Chim. Acta, 2016, 914: 62-74
- 4 WU Li-Yuan. The Chinese Livestock and Poultry Breeding, **2014**, 10(4): 43-44 吴丽媛. 中国畜禽种业, **2014**, 10(4): 43-44
- 5 YANG Cheng-Dui, SONG Li-Hui, MAO Li-Ha, LIU Mi-Xin. *Chinese J. Anal. Chem.*, **2004**, 32(7): 905–907 杨成对, 宋莉晖, 毛利哈, 刘密新. 分析化学, **2004**, 32(7): 905–907
- 6 Schwarm E F, Dabner C, Wilson J W, Boghosian M P. J. Pharmaceut. Sci., 1966, 55(7): 744-745
- 7 Anna Y K, Jeanne V S, Alexey M. Egorov. Food Agri. Immunol., 2000, 12: 115-120
- 8 ZHANG Xiao-Jun, ZHENG Bin. Chinese Journal of Analysis Laboratory, **2010**, 29(6): 115-118 张小军,郑 斌. 分析试验室, **2010**, 29(6): 115-118
- 9 Huang X, Aguilar Z P, Xu H, Lai W, Xiong Y. Biosens. Bioelectron., 2016, 75: 166-180
- Sakamoto S, Yusakul G, Nuntawong P, Kitisripanya T, Putalun W, Miyamoto T, Tanaka H, Morimoto S. J. Chromatogr. B, 2017, 1048: 150-154
- 11 Song C, Zhi A, Liu Q, Yang J, Jia G, Shervin J, Tang L, Hu X, Deng R, Xu C, Zhang G. Biosens. Bioelectron., 2013, 50: 62-65
- 12 Wang C, Hou F, Ma Y. Biosens. Bioelectron., **2015**, 68: 156–162
- 13 Taranova N A, Berlina A N, Zherdev A V, Dzantiev B B. Biosens. Bioelectron., 2015, 63(2): 255-261
- 14 Di Nardo F, Anfossi L, Giovannoli C, Passini C, Goftman V V, Goryacheva I Y, Baggianic C. Talanta, 2016, 150: 463-468
- DUAN Hong, CHEN Xue-Lan, JIANG Hu, SHEN Jun, DONG Sheng-Ming, XIONG Yong-Hua, Andrew Wang. Chinese J. Anal. Chem., 2015, 43(3): 338-343
 - 段 宏, 陈学岚, 江 湖, 沈 骏, 董胜明, 熊勇华, Andrew Wang. 分析化学, 2015, 43(3): 338-343
- 16 ZHOU Yao-Feng, XIONG Si-Cheng, JIANG Hu, DUAN Hong, XIONG Yong-Hua. Chinese J. Anal. Chem., 2015, 43(12):1837-1843
 - 周耀峰, 熊斯诚, 江湖, 段宏, 熊勇华. 分析化学, 2015, 43(12): 1837-1843
- 17 Campbell G S, Mageau R P, Schwab B, Johnston R W. Antimicrob. Agents Chemother., 1984, 25(2): 205-211
- 18 Kolosova A Y, Samsonova A M. Food Agri. Immunol. , $\boldsymbol{2000}$, 12(2):115-125
- WANG Hong-Jiang, LIU Ting, XIE Ji, LI Wan-Yuan, GUO Ai-Ling, CAI Zhao-Xia. Chinese J. Anal. Chem., 2010, 38(5): 632-637
 - 王洪江, 柳 婷, 谢 跻, 栗婉媛, 郭爱玲, 蔡朝霞. 分析化学, **2010**, 38(5): 632-637
- 20 XU Sheng-Nan, YU Qiong-Wei, YUAN Bi-Feng, FENG Yu-Qi. *Journal of Analytical Science*, **2016**, 32(4): 471-474 许胜男, 余琼卫, 袁必锋, 冯钰锜. 分析科学学报, **2016**, 32(4): 471-474
- 21 XIAO Zhi-Li, ZENG Wen-Liang, WANG Hong, SHEN Yu-Dong, SUN Yuan-Ming, YANG Jin-Yi. Food & Machinery, 2013, 29(4): 54–58
 - 肖治理, 曾文亮, 王 弘, 沈玉栋, 孙远明, 杨金易. 食品与机械, 2013, 29(4): 54-58

Development of Quantum Dot Submicrobeads-based Fluorescent Immunochromatographic Test Strip for Rapid Detection of Chloramphenicol

DING Qiao-Qi, LI Li, FAN Wen-Tao, LYU Ya-Nan, HU Jian-Hua, YAN Li-Ping*, SONG Su-Quan* (College of Veterinary Medicine, Nanjing Agricultural University, Nanjing 210095, China)

Abstract A fluorescent immunochromatographic test strip based on the quantum dots submicrobeads (QBs) was developed for quantitative detection of chloramphenicol (CAP). In this method, monoclonal antibody of CAP and OBs complex fluorescent probe was first prepared using 1-ethyl-3-(3-dimethylaminopropyl) carbodiimide/N-hydroxysuccinimide coupling approach, then complete antigen CAP-HS-BSA was synthesized and sprayed on nitrocellulose membrane as test line (T line). Similarly, goat anti-mouse antibody was sprayed as control line (C line). The time required for the analysis was 15 min, and the limit of detection (LOD) for CAP was 0.1 μ g/L, with a working range of 0.1 – 100 μ g/L. In spiked milk samples, the test strip demonstrated high recoveries in the range from 93.3% to 97.9% with relative standard deviations of less than 7%.

Keywords Chloramphenicol; Quantum dot submicrobeads; Immunochromatographic test strip

(Received 9 May 2017; accepted 4 September 2017)

This work was supported by the National Key R&D Program (Nos. 2016YFD0501200, 2016YFD0501009), the Fundamental Research Funds for the Central Universities (No. Y0201500195), the Natural Science Foundation of Jiangsu Province (No. BK20161452), the Key Program of Science and Technology Planning of Guangdong Province, China (No. 2017B020202010), and the Priority Academic Program Development of Jiangsu Higher Education Institutions (Jiangsu, China).

沃特世 Q3 营收 5.66 亿美元 欧洲市场增长强劲

美国东部时间 10 月 24 日,沃特世公布了 2017 年第三季度财报。财报显示,沃特世 Q3 营收 5.66 亿美元,同比增长 7% (固定货币汇率为 6%);净利润为 1.36 亿美元,GAAP 每股收益增长 10% 至 1.69 美元,非 GAAP 每股收益增长 13% 至 1.77 美元。美国东部时间 10 月 24 日,沃特世公布了 2017 年第三季度财报。财报显示,沃特世 Q3 营收 5.66 亿美元,同比增长 7% (固定货币汇率为 6%);净利润为 1.36 亿美元,GAAP 每股收益增长 10% 至 1.69 美元,非 GAAP 每股收益增长 13% 至 1.77 美元。

在谈到公司的业绩时,沃特世首席执行官 Chris O'Connell 说,"非常高兴我们第三季度整体销售和每股收益增长强劲。本季度突出显示,我们的主要客户定义的终端市场收入明显增长,仪器系统和经常性收入均衡增长,经营杠杆和强大的自由现金流产生坚实的收入增长。"

财报显示,本季度广义的制药市场销售额增长 7%(固定货币汇率为 5%),工业市场销售额增长 6%(固定货币汇率为 5%),政府和科研市场销售增长 15%(固定货币汇率为 13%)。

本季度,由服务和化学消耗品构成的经常性收入增长8%(固定货币汇率为7%),而仪器系统销售增长6%(固定货币汇率为5%)。

本季度,亚洲的销售额增长了7%(固定货币汇率为8%),欧洲增长了20%(固定货币汇率为13%),在美洲持平。2017年的前九个月,亚洲的销售额增长了11%(固定货币汇率为12%),欧洲增长了8%(固定货币汇率为9%),美洲下降了2%。

(来源:仪器信息网译)